

УДК 539.2 : 548

© 1992

ДИНАМИКА РЕШЕТКИ КРИСТАЛЛОВ $\text{LaTa}_7\text{O}_{19}$

В. Г. Мазуренко, М. Г. Зуев

Приводятся результаты экспериментальных и теоретических исследований колебательных спектров идеальных и дефектных кристаллов $\text{LaTa}_7\text{O}_{19}$. Частоты фундаментальных колебаний кристаллов $\text{LaTa}_7\text{O}_{19}$ определены путем измерения спектров ИК поглощения и комбинационного рассеяния. В модели жестких ионов проведены расчеты длинноволновых колебаний идеальных кристаллов $\text{LaTa}_7\text{O}_{19}$. Параметры межионных потенциалов определены из наилучшего согласия рассчитанных частот фундаментальных колебаний с их экспериментальными значениями. Рекурсивным методом рассчитаны частоты квазилокальных колебаний, индуцируемых точечными дефектами в кристаллах $\text{LaTa}_7\text{O}_{19}$. Рассматриваются примеси замещения в изотопической модели, а также анионные вакансии La вблизи ионов La и Ta. Вакансия вблизи иона Ta не искаивает колебательный спектр кристалла $\text{LaTa}_7\text{O}_{19}$.

Кристаллы $\text{LaTa}_7\text{O}_{19}$, активированные ионами редкоземельных элементов (РЗЭ), в частности неодимом, относятся к объектам со слабым концентрационным тушением люминесценции ионов РЗЭ [1, 2]. Это так называемые концентрированные кристаллы, имеющие сложную анионную подрешетку. Относительно большое расстояние между ионами активатора обеспечивает уменьшение безызлучательных потерь энергии возбуждения при взаимодействии ионов друг с другом. Известен также механизм безызлучательных переходов за счет взаимодействия электронного перехода в ионе с квазилокальными колебаниями выделенных центров в решетке основы [3]. В связи с этим представляет интерес исследование динамики решетки кристаллов $\text{LaTa}_7\text{O}_{19}$ с различными активаторами и вакансиями. Ранее подобное исследование было выполнено нами для сравнительно простых оксидных кристаллов — tantalата иттрия [4]. Настоящая работа посвящена экспериментальному и теоретическому исследованию фононных спектров идеальных и дефектных кристаллов $\text{LaTa}_7\text{O}_{19}$.

Кристалл $\text{LaTa}_7\text{O}_{19}$ относится к пространственной группе $P6c2$ (D_{3h}^2). В примитивной ячейке содержатся две формулярные единицы. В работе [5] приведены параметры примитивной ячейки и координаты базисных атомов. По программе [6] нами найдено разложение полного колебательного представления в центре зоны Бриллюэна по неприводимым представлениям точечной группы D_{3h} .

$$\Gamma = 13A'_1(\text{КР}) + 12A'_2 + 15A''_1 + 14A''_2(\text{ИК}) + 28E''(\text{КР}) + \\ + 26E'(\text{ИККР}).$$

В скобках указана активность колебания данного типа симметрии в процессах ИК и КР.

Измерения колебательных спектров $\text{LaTa}_7\text{O}_{19}$ проводили на поликристалических образцах при комнатной температуре, спектры ИК — на приборах Perkin—Elmer 457 (область 250 — 600 см^{-1}) и UR-20 (400 — 1100 см^{-1}), спектры КР — при возбуждении гелий-неоновым лазером с использованием спектрометра ДФС-24 с фотоумножителем ФЗУ-79. Полученные спектры ИК пропускания и КР представлены на рис. 1, 2 соответственно.

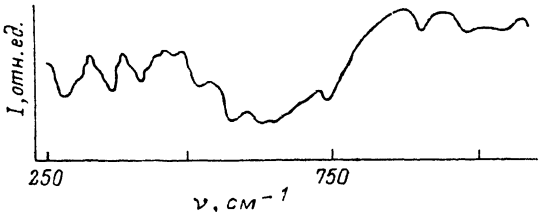


Рис. 1. Спектр ИК поглощения кристалла LaTa₇O₁₉.

Кристалл LaTa₇O₁₉ имеет сложную структуру и состоит из 54 атомов. Все расчеты нами проведены в модели жестких ионов, в которой межионный потенциал имеет вид

$$\Phi(r) = \frac{Z_k Z_{k'}}{r} + A_{kk'} \exp(-r/\rho_{kk'}) - \frac{C_{kk'}}{r^6}. \quad (1)$$

Здесь k, k' — номера атомов; r — расстояние между атомами; Z_k — заряд иона; $A_{kk'}$, $\rho_{kk'}$ и $C_{kk'}$ — постоянные (параметры модели).

Вследствие сложной структуры рассматриваемого кристалла определение параметров межионных потенциалов представляет собой нетривиальную задачу. Нами использован подход, применяемый в работе [7] к кристаллам сверхпроводников, а также в работе [4]. Он заключается в том, что в качестве стартовых параметров межионных потенциалов выбирали параметры, полученные из рассмотрения

Таблица 1

Параметры межионных потенциалов для кристалла LaTa₇O₁₉

Пары ионов	A, эВ	ρ , Å	C, эВ · Å ⁶
La—O	1400.4	0.336	0.0
Ta—O	2501.2	0.346	0.0
O—O	22764.3	0.149	27.063

Таблица 2

Экспериментальные и расчетные частоты (в см⁻¹) фундаментальных колебаний идеального кристалла LaTa₇O₁₉

Спектры КР			Спектры ИК		
типа симметрии	эксп.	расчет	типа симметрии	эксп.	расчет
A'_1	85	109	A'_2	285	290
A'_1	125	140	A'_2	370	370
E''	155	161	A'_2	420	418
E''	185	198	E'	470	488
A'_1	220	222	E'	510	512
A'_1	235	238	A'_2	570	572
A'_1	305	306	E'	625	628
E'	350	346	A'_2	645	649
A'_1	395	397	A'_2	740	743
E'	470	468	E'	900	896
E''	535	538	A'_2	975	898
A'^2_2	570	572	E'	1010	1018
E'	610	625	A'_2	1045	1059
A'_1	660	662			

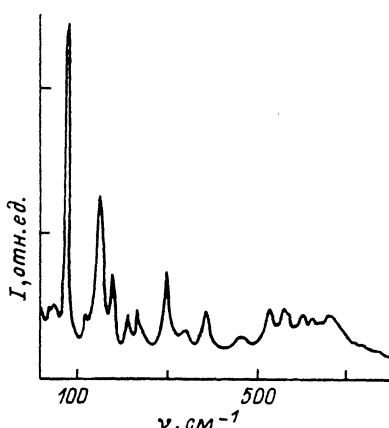


Рис. 2. Спектр комбинационного рассеяния кристалла $\text{LaTa}_7\text{O}_{19}$.

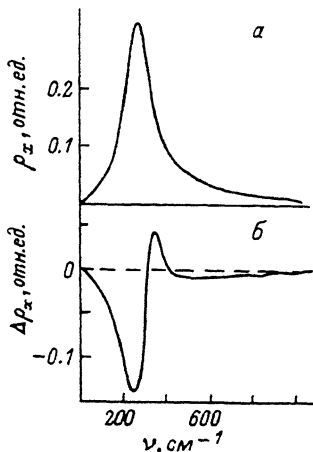


Рис. 3. ЛПС фононов в идеальном кристалле $\text{LaTa}_7\text{O}_{19}$ в позиции La в направлении x (а). Приращение ЛПС при замещении La ионом Y (б).

других кристаллов, составленных из тех же или близких по электронному строению ионов. В дальнейшем эти параметры уточнялись из наилучшего согласия рассчитанных и экспериментальных частот.

Следуя этому подходу, параметры взаимодействия между ионами кислорода мы получали из квантово-механического расчета [8], а стартовые значения параметров потенциала взаимодействия между парами Ta—O и La—O выбирали близкими к потенциальному U—O [8] и из расчетов динамики решетки кристаллов BaTiO_3 [7] соответственно. Затем эти параметры варьировались до наилучшего согласия рассчитанных частот с их экспериментальными значениями. Полученные параметры межионных потенциалов взаимодействий приведены в табл. 1.

Блочную диагонализацию динамической матрицы проводили по программе [6]. Часть вычисленных частот длинноволновых оптических колебаний, соответствующих наблюдаемым, приведена в табл. 2. Наблюдается удовлетворительное согласие рассчитанных и экспериментальных частот.

По методике, описанной в работе [4], нами рассчитаны локальные плотности состояний (ЛПС) фононов в позиции атомов La, Ta, O для различных направлений в идеальном и дефектном кристаллах $\text{LaTa}_7\text{O}_{19}$. Все расчеты проводили рекурсивным методом в модели жестких ионов, используя кластер около 2000 ионов. На рис. 3, а в качестве примера представлена ЛПС в позиции La в направлении x в идеальном кристалле $\text{LaTa}_7\text{O}_{19}$.

Таблица 3

Частоты квазилокальных колебаний, индуцируемые примесями в кристалле $\text{LaTa}_7\text{O}_{19}$

Замещаемый атом	Примесь замещения	Частота квазилокального колебания, см^{-1}
La	Nd	262
	Eu	259
	Tm	245
	Y	337
	Al	613
Ta	Nb	530
	V	344
	P	974

Нами рассмотрены следующие типы дефектов: примеси замещения — ионы Nd, Eu, Tm, Y, Al — внедрены вместо La, а ионы Nb, V, P — вместо Ta; вакансии кислорода вблизи ионов La и Ta.

Для расчетов ЛПС кристаллов $\text{LaTa}_7\text{O}_{19}$ с примесями использовали изотопическую модель, т. е. потенциал взаимодействия для атомов примеси с окружающими ионами считали таким же, как для замещаемого иона, а изменялась только масса. На рис. 3, б представлено приращение ЛПС в позиции La в направлении x при замещении La ионом Y. Максимум в приращении ЛПС, не совпадающий с особенностями ЛПС идеального кристалла, мы связываем с квазилокальным колебанием. В рассмотренном случае частота квазилокального колебания равна 337 см^{-1} . Аналогично определяются частоты квазилокальных колебаний для других примесей (табл. 3). Видно, что тяжелые примеси дают квазилокальные колебания в низкочастотной части спектра, тогда как более легкие — в высокочастотной оптической части. Это соответствует общему характеру влияния массы примеси на частоту дефектного колебания, определяемого функциональной зависимостью $\nu \sim 1/\sqrt{m}$.

Частоты квазилокальных колебаний, индуцируемых вакансиями кислорода вблизи иона La, имеют значения 317 и 690 см^{-1} . Появление же кислородной вакансии вблизи атома Ta не приводит к искажению колебательного спектра. Вероятно, такой характер искажений связан с особенностями структуры кристалла $\text{LaTa}_7\text{O}_{19}$.

Полученные значения квазилокальных колебаний будут использованы для количественного описания процессов безызлучательной передачи энергии в кристалле $\text{LaTa}_7\text{O}_{19}$.

Список литературы

- [1] Зуев М. Г., Абрамов Е. С., Крылов Е. И. и др. // Журн. прикл. спектр. 1975. Т. 23. № 5. С. 930.
- [2] Рождественский Ф. Ф., Зуев М. Г., Фотиев А. А. Танталаты трехвалентных металлов. М.: Наука, 1986. 168 с.
- [3] Свешникова Е. Б., Строганов А. А., Тимофеев Н. Т. // Опт. и спектр. 1988. Т. 64. № 1. С. 73—78.
- [4] Мазуренко В. Г., Зуев М. Г. // ФТТ. 1991. Т. 33. № 1. С. 72—75.
- [5] Langenbach B., Sturm K. J., Gruehn R. // Z. anorg. allg. Chem. 1986. V. 543. N 12. P. 117—128.
- [6] Boyer L. L. // J. Comput. Phys. 1974. V. 16. N 2. P. 167—185.
- [7] Kress W., Schroder U., Prade J. et al. // Phys. Rev. B. 1988. V. 38. N 4. P. 2906—2909.
- [8] Catlow C. R. A., Freeman C. M. // Phil. Mag. A. 1988. V. 58. N 1. P. 123—141.

Институт химии твердого тела УрО РАН
Свердловск

Поступило в Редакцию
18 марта 1992 г.